

---

---

**ОБЫКНОВЕННЫЕ  
ДИФФЕРЕНЦИАЛЬНЫЕ УРАВНЕНИЯ**

---

---

УДК 519.624.2

**К ИНТЕГРИРОВАНИЮ УРАВНЕНИЯ МАТЬЕ С ЗАТУХАНИЕМ  
В МОНОГРАФИИ Н.Н. БОГОЛЮБОВА И Ю.А. МИТРОПОЛЬСКОГО  
“АСИМПТОТИЧЕСКИЕ МЕТОДЫ В ТЕОРИИ  
НЕЛИНЕЙНЫХ КОЛЕБАНИЙ”**

© 2022 г. А. Ф. Курин<sup>1</sup>. \*

<sup>1</sup> 394006 Воронеж, Университетская пл., 1, Воронежский гос. ун-т, физ. ф-т, Россия

\*e-mail: afkurin@mail.ru

Поступила в редакцию 01.03.2021 г.  
Переработанный вариант 23.06.2022 г.  
Принята к публикации 04.08.2022 г.

Асимптотическим методом, изложенным в монографии, указанной в заглавии статьи, получены выражения, определяющие границы трех областей параметрического резонанса однородного уравнения Матье с затуханием. Формулы для границ второй и третьей областей, справедливость которых подтверждает также численное решение уравнения, существенно отличаются от известных, полученных в монографии. Показано, что само существование областей резонанса зависит от выбора порядков малости трех малых параметров задачи. Библ. 11. Фиг. 3.

**Ключевые слова:** уравнение Матье, асимптотический метод, параметрический резонанс.

**DOI:** 10.31857/S0044466922120109

### ВВЕДЕНИЕ

В монографии [1], посвященной приближенным асимптотическим методам решения задач теории нелинейных колебаний, рассмотрено, в частности, уравнение Матье с затуханием, для которого на плоскости параметров уравнения вычислены границы трех областей параметрического резонанса (формулы (17.62)–(17.64) в [1]). При этом авторы ограничивались тем приближением асимптотического метода, в котором появляется та или иная область резонанса: указанные три формулы получены в первом, втором и третьем приближениях соответственно. Отметим, что в [1] отсутствуют какие-либо подробности вывода формул.

В настоящей работе уравнение Матье интегрируется подробно асимптотическим методом, принятым в монографии [1], сохранены также обозначения величин. Амплитуда и фаза колебаний имеет вид разложения по степеням малого параметра  $\epsilon$ . Однако теперь предусмотрена возможность в полученных выражениях устанавливать порядок малости параметров, входящих в уравнение, поскольку, как показал анализ, для существования каждой области параметрических колебаний требуется своя комбинация порядков малости трех параметров. Справедливость полученных выражений для границ второй и третьей областей резонанса (формулы (38), (48) настоящей работы) подтверждается численным решением уравнения Матье с затуханием. Эти выражения не совпадают с формулами (17.63), (17.64) в [1]. Количественные результаты различаются существенно.

Правильность формул (38), (48) статьи подтверждается еще и тем, что вычисленные из этих формул границы для уравнения Матье с затуханием в другой часто используемой записи (см. разд. 5) совпали с границами, установленными ранее для такого уравнения в статье [2] известным асимптотическим методом усреднения для систем с многими быстрыми фазами [3], [4]. Отметим, что метод усреднения использовался также для уравнения Матье без затухания [4]–[6].

Далее, формулы для границ областей резонанса (38), (48) получаются и методом И.З. Штокало [7]. Дальнейшее развитие метода изложено в статье Ю.С. Колесова и В.В. Майорова [8]. Таким образом, в случае уравнения Матье три метода дают одинаковый результат.

1. ПРЕОБРАЗОВАНИЕ УРАВНЕНИЯ МАТЬЕ

В обозначениях работы [1] запишем уравнение Матье с затуханием (см. (17.61) в [1])

$$\frac{d^2x}{dt^2} + \delta \frac{dx}{dt} + \omega^2 [1 - h \cos(vt)]x = 0. \tag{1}$$

Рассматриваются резонансы, когда близки частоты  $\omega$  и  $pv/q$ . Здесь  $p$  и  $q$  – взаимно простые числа. Частоты связаны соотношением

$$\omega^2 = \left(\frac{pv}{q}\right)^2 + \varepsilon \Delta_1 + \varepsilon^2 \Delta_2 + \varepsilon^3 \Delta_3 + \dots, \tag{2}$$

где  $\varepsilon$  – малый параметр. Малыми величинами являются также затухание

$$\delta = \varepsilon \delta_1 + \varepsilon^2 \delta_2 + \varepsilon^3 \delta_3 + \dots \tag{3}$$

и параметр

$$h = \varepsilon h_1. \tag{4}$$

В отличие от [1] представление частотной расстройки и коэффициента затухания рядом по степеням  $\varepsilon$  позволяет выбирать порядок малости этих величин при анализе полученных формул.

Представим уравнение (1) в виде разложения по степеням малого параметра  $\varepsilon$ .

Для этого, следуя асимптотическому методу, изложенному в [1], с учетом (2)–(4) перепишем уравнение (1) в виде

$$\begin{aligned} \frac{d^2x}{dt^2} + \left(\frac{pv}{q}\right)^2 x = \varepsilon \left[ \left(\frac{pv}{q}\right)^2 h_1 \cos(vt)x - \Delta_1 x - \delta_1 \frac{dx}{dt} \right] + \\ + \varepsilon^2 \left[ \Delta_1 h_1 \cos(vt)x - \Delta_2 x - \delta_2 \frac{dx}{dt} \right] + \varepsilon^3 \left[ \Delta_2 h_1 \cos(vt)x - \Delta_3 x - \delta_3 \frac{dx}{dt} \right] + \dots = F. \end{aligned} \tag{5}$$

Согласно [1] решение ищем в виде ряда

$$x = a \cos \psi + \varepsilon u_1(a, t, \theta) + \varepsilon^2 u_2(a, t, \theta) + \varepsilon^3 u_3(a, t, \theta) + \dots, \tag{6}$$

в котором

$$\psi = \frac{pv}{q}t + \theta \tag{7}$$

есть быстрая фаза, а медленные амплитуда  $a$  и фаза  $\theta$  определяются из уравнений

$$\begin{aligned} \frac{da}{dt} = \varepsilon A_1(a, \theta) + \varepsilon^2 A_2(a, \theta) + \varepsilon^3 A_3(a, \theta) + \dots, \\ \frac{d\theta}{dt} = \varepsilon B_1(a, \theta) + \varepsilon^2 B_2(a, \theta) + \varepsilon^3 B_3(a, \theta) + \dots. \end{aligned} \tag{8}$$

Функции  $A_{1,2,3,\dots}$ ,  $B_{1,2,3,\dots}$ ,  $u_{1,2,3,\dots}$  подлежат вычислению.

Представим правую и левую части в виде разложения по степеням  $\varepsilon$ . Здесь  $x$  – выражение (6). Вычислим производную

$$\begin{aligned} \frac{dx}{dt} = \frac{da}{dt} \cos \psi - a \sin \psi \frac{d\psi}{dt} + \sum_{n=1} \varepsilon^n \left( \frac{\partial u_n}{\partial t} + \frac{\partial u_n}{\partial a} \frac{da}{dt} + \frac{\partial u_n}{\partial \theta} \frac{d\theta}{dt} \right) = \\ = \frac{da}{dt} \left( \cos \psi + \sum_{n=1} \varepsilon^n \frac{\partial u_n}{\partial a} \right) + \frac{d\theta}{dt} \left( -a \sin \psi + \sum_{n=1} \varepsilon^n \frac{\partial u_n}{\partial \theta} \right) - \frac{apv}{q} \sin \psi + \sum_{n=1} \varepsilon^n \frac{\partial u_n}{\partial t}, \end{aligned} \tag{9}$$

где  $da/dt$  и  $d\theta/dt$  определяются формулами (8).

Подставляя выражения (6) и (9) в правую часть уравнения (5), получаем

$$\begin{aligned}
 F = & \varepsilon \left[ a \left( \frac{pV}{q} \right)^2 h_1 \cos(vt) \cos \psi - a \Delta_1 \cos \psi + a \frac{pV}{q} \delta_1 \sin \psi \right] + \\
 & + \varepsilon^2 \left[ \left( \frac{pV}{q} \right)^2 h_1 u_1 \cos(vt) - \Delta_1 u_1 - \delta_1 \left( A_1 \cos \psi - a B_1 \sin \psi + \frac{\partial u_1}{\partial t} \right) + \right. \\
 & \quad \left. + a h_1 \Delta_1 \cos(vt) \cos \psi - a \Delta_2 \cos \psi + a \frac{pV}{q} \delta_2 \sin \psi \right] + \\
 & + \varepsilon^3 \left[ \left( \frac{pV}{q} \right)^2 h_1 u_2 \cos(vt) - \Delta_1 u_2 - \delta_1 \left( A_2 \cos \psi - a B_2 \sin \psi + A_1 \frac{\partial u_1}{\partial a} + \right. \right. \\
 & \quad \left. \left. + B_1 \frac{\partial u_1}{\partial \theta} + \frac{\partial u_2}{\partial t} \right) + h_1 \Delta_1 u_1 \cos(vt) - \Delta_2 u_1 - \delta_2 \left( A_1 \cos \psi - a B_1 \sin \psi + \frac{\partial u_1}{\partial t} \right) + \right. \\
 & \quad \left. + a h_1 \Delta_2 \cos(vt) \cos \psi - a \Delta_3 \cos \psi + a \frac{pV}{q} \delta_3 \sin \psi \right] + \dots
 \end{aligned} \tag{10}$$

Вторую производную  $d^2x/dt^2$  в левой части уравнения (5) получаем дифференцированием (9). При этом используем выражения (8), а также

$$\begin{aligned}
 \left( \frac{da}{dt} \right)^2 &= \varepsilon^2 A_1^2 + 2\varepsilon^3 A_1 A_2 + \dots, \\
 \frac{d^2a}{dt^2} &= \varepsilon^2 \left( A_1 \frac{\partial A_1}{\partial a} + B_1 \frac{\partial A_1}{\partial \theta} \right) + \varepsilon^3 \left( A_1 \frac{\partial A_2}{\partial a} + B_1 \frac{\partial A_2}{\partial \theta} + A_2 \frac{\partial A_1}{\partial a} + B_2 \frac{\partial A_1}{\partial \theta} \right) + \dots, \\
 \frac{da}{dt} \frac{d\theta}{dt} &= \varepsilon^2 A_1 B_1 + \varepsilon^3 (A_1 B_2 + A_2 B_1) + \dots, \\
 \left( \frac{d\theta}{dt} \right)^2 &= \varepsilon^2 B_1^2 + 2\varepsilon^3 B_1 B_2 + \dots, \\
 \frac{d^2\theta}{dt^2} &= \varepsilon^2 \left( A_1 \frac{\partial B_1}{\partial a} + B_1 \frac{\partial B_1}{\partial \theta} \right) + \varepsilon^3 \left( A_1 \frac{\partial B_2}{\partial a} + A_2 \frac{\partial B_1}{\partial a} + B_1 \frac{\partial B_2}{\partial \theta} + B_2 \frac{\partial B_1}{\partial \theta} \right) + \dots.
 \end{aligned}$$

После простых вычислений для левой части (5) получаем разложение

$$\begin{aligned}
 \frac{d^2x}{dt^2} + \left( \frac{pV}{q} \right)^2 x = & \varepsilon \left[ -2 \frac{pV}{q} A_1 \sin \psi - 2a \frac{pV}{q} B_1 \cos \psi + \frac{\partial^2 u_1}{\partial t^2} + \left( \frac{pV}{q} \right)^2 u_1 \right] + \\
 & + \varepsilon^2 \left[ \left( A_1 \frac{\partial A_1}{\partial a} + B_1 \frac{\partial A_1}{\partial \theta} - a B_1^2 - 2a \frac{pV}{q} B_2 \right) \cos \psi + \right. \\
 & \left. + \left( -a A_1 \frac{\partial B_1}{\partial a} - a B_1 \frac{\partial B_1}{\partial \theta} - 2A_1 B_1 - 2 \frac{pV}{q} A_2 \right) \sin \psi + 2A_1 \frac{\partial^2 u_1}{\partial a \partial t} + 2B_1 \frac{\partial^2 u_1}{\partial \theta \partial t} + \frac{\partial^2 u_2}{\partial t^2} + \left( \frac{pV}{q} \right)^2 u_2 \right] + \\
 & + \varepsilon^3 \left[ \left( A_1 \frac{\partial A_2}{\partial a} + B_1 \frac{\partial A_2}{\partial \theta} + A_2 \frac{\partial A_1}{\partial a} + B_2 \frac{\partial A_1}{\partial \theta} - 2a B_1 B_2 - 2a \frac{pV}{q} B_3 \right) \cos \psi + \right. \\
 & \left. + \left( -a A_1 \frac{\partial B_2}{\partial a} - a A_2 \frac{\partial B_1}{\partial a} - a B_1 \frac{\partial B_2}{\partial \theta} - a B_2 \frac{\partial B_1}{\partial \theta} - 2A_1 B_2 - 2A_2 B_1 - 2 \frac{pV}{q} A_3 \right) \sin \psi + \right. \\
 & \quad \left. + \frac{\partial u_1}{\partial a} \left( A_1 \frac{\partial A_1}{\partial a} + B_1 \frac{\partial A_1}{\partial \theta} \right) + A_1^2 \frac{\partial^2 u_1}{\partial a^2} + 2A_1 B_1 \frac{\partial^2 u_1}{\partial a \partial \theta} + 2A_2 \frac{\partial^2 u_1}{\partial a \partial t} + 2A_1 \frac{\partial^2 u_2}{\partial a \partial t} + \right. \\
 & \quad \left. + \frac{\partial u_1}{\partial \theta} \left( A_1 \frac{\partial B_1}{\partial a} + B_1 \frac{\partial B_1}{\partial \theta} \right) + B_1^2 \frac{\partial^2 u_1}{\partial \theta^2} + 2B_2 \frac{\partial^2 u_1}{\partial \theta \partial t} + 2B_1 \frac{\partial^2 u_2}{\partial \theta \partial t} + \frac{\partial^2 u_3}{\partial t^2} + \left( \frac{pV}{q} \right)^2 u_3 \right].
 \end{aligned} \tag{11}$$

Если отбросить члены с  $\epsilon^3$ , приходим к выражению (4.10) в [1].

## 2. РЕЗОНАНС $\omega \approx \frac{\nu}{2}$

Выведем формулы для границы первой области параметрического резонанса в первом и во втором (формула (27)) приближениях асимптотического метода.

Формулы первого приближения получим из равенства выражений с  $\epsilon$  в (11) и (10) при  $p = 1$ ,  $q = 2$ ;

$$\frac{\partial^2 u_1}{\partial t^2} + \frac{\nu^2}{4} u_1 - \nu A_1 \sin \psi - \nu B_1 \cos \psi = \frac{\nu^2 h_1}{4} \cos(\nu t) \cos \psi - a \Delta_1 \cos \psi + \frac{\nu \delta_1}{2} \sin \psi.$$

Решение  $u_1$  этого дифференциального уравнения не должно содержать колебаний основной частоты  $\nu/2$  [1]. Это требование означает отсутствие в уравнении слагаемых с  $\sin \psi$  и  $\cos \psi$ . Поэтому с учетом формулы

$$\cos(\nu t) \cos \psi = \frac{1}{2} \left[ \cos\left(\frac{3\nu}{2} t + \theta\right) + \sin(2\theta) \sin \psi + \cos(2\theta) \cos \psi \right] \quad (12)$$

приравняем нулю выражения с  $\sin \psi$  и  $\cos \psi$ . Получаем

$$\nu A_1 + \frac{\nu \delta_1}{2} + \frac{\nu^2 h_1}{8} \sin(2\theta) = 0, \quad \nu B_1 - \Delta_1 + \frac{\nu^2 h_1}{8} \cos(2\theta) = 0,$$

откуда

$$A_1 = -\frac{\nu \delta_1}{2} - \frac{\nu h_1}{8} \sin(2\theta), \quad B_1 = \frac{\Delta_1}{\nu} - \frac{h_1}{8} \cos(2\theta). \quad (13)$$

Для функции  $u_1$  получаем дифференциальное уравнение

$$\frac{\partial^2 u_1}{\partial t^2} + \frac{\nu^2}{4} u_1 = \frac{\nu^2 h_1}{8} \cos\left(\frac{3\nu}{2} t + \theta\right),$$

которое имеет общее решение

$$u_1 = C_1 \cos\left(\frac{\nu}{2} t\right) + C_2 \sin\left(\frac{\nu}{2} t\right) - \frac{ah_1}{16} \cos\left(\frac{3\nu}{2} t + \theta\right).$$

Полагаем  $C_1 = C_2 = 0$ , чтобы исключить в  $u_1$  колебания с основной частотой  $\nu/2$ . Окончательно,

$$u_1 = -\frac{ah_1}{16} \cos\left(\frac{3\nu}{2} t + \theta\right). \quad (14)$$

Приравняем теперь выражения с  $\epsilon^2$  в разложениях (11) и (10)

$$\begin{aligned} & \frac{\partial^2 u_2}{\partial t^2} + \frac{\nu^2}{4} u_2 + \left( -2A_1 B_1 - aA_1 \frac{\partial B_1}{\partial a} - aB_1 \frac{\partial B_1}{\partial \theta} - \nu A_2 \right) \sin \psi + \left( -aB_1^2 + A_1 \frac{\partial A_1}{\partial a} + \right. \\ & \left. + B_1 \frac{\partial A_1}{\partial \theta} - \nu B_2 \right) \cos \psi + 2A_1 \frac{\partial^2 u_1}{\partial a \partial t} + 2B_1 \frac{\partial^2 u_1}{\partial \theta \partial t} = \frac{\nu^2 h_1}{4} u_1 \cos(\nu t) - \Delta_1 u_1 - \\ & - \delta_1 \left( A_1 \cos \psi - aB_1 \sin \psi + \frac{\partial u_1}{\partial t} \right) + ah_1 \Delta_1 \cos(\nu t) \cos \psi - a\Delta_2 \cos \psi + \frac{\nu \delta_2}{2} \sin \psi. \end{aligned} \quad (15)$$

Это – дифференциальное уравнение относительно  $u_2$ . Функции  $A_1$ ,  $B_1$ ,  $u_1$  определяются формулами первого приближения (13), (14). Чтобы избежать появления в  $u_2$  колебаний с частотой  $\nu/2$ , приравняем нулю выражения с  $\sin \psi$  и  $\cos \psi$ , учитывая формулы (7), (12) и

$$u_1 \cos(\nu t) = -\frac{ah_1}{32} \left[ \cos\left(\frac{5\nu}{2} t + \theta\right) + \cos \psi \right]. \quad (16)$$

Получаем

$$\begin{aligned} vA_2 &= -2A_1B_1 - aA_1 \frac{\partial B_1}{\partial a} - aB_1 \frac{\partial B_1}{\partial \theta} - a\delta_1 B_1 - \frac{ah_1\Delta_1}{2} \sin(2\theta) - \frac{av\delta_2}{2}, \\ avB_2 &= A_1 \frac{\partial A_1}{\partial a} + B_1 \frac{\partial A_1}{\partial \theta} - aB_1^2 + \frac{av^2h_1^2}{128} + \delta_1 A_1 - \frac{ah_1\Delta_1}{2} \cos(2\theta) + a\Delta_2, \end{aligned}$$

откуда после вычислений следуют выражения

$$A_2 = -\frac{a\delta_2}{2} - \frac{ah_1\Delta_1}{2v} \sin(2\theta), \quad B_2 = \frac{\Delta_2}{v} - \frac{\Delta_1^2}{v^3} - \frac{\delta_1^2}{4v} + \frac{3vh_1^2}{128} - \frac{h_1\Delta_1}{2v} \cos(2\theta). \quad (17)$$

Если в решении уравнения (1) ограничиться вторым приближением метода, вычисление  $u_2$  не требуется [1].

Далее вместо системы уравнений (8) будем использовать систему для  $a$  и  $2\theta$ , которая во втором приближении имеет вид

$$\frac{da}{dt} = \varepsilon A_1 + \varepsilon^2 A_2, \quad \frac{d(2\theta)}{dt} = \varepsilon 2B_1 + \varepsilon^2 2B_2.$$

Подставим выражения (13), (17), получаем систему

$$\frac{da}{dt} = \frac{a}{2}[-\delta + r \sin(2\theta)], \quad \frac{d(2\theta)}{dt} = s + r \cos(2\theta), \quad (18)$$

где в коэффициентах, имеющих вид разложения по степеням  $\varepsilon$

$$\delta = \varepsilon\delta_1 + \varepsilon^2\delta_2, \quad r = \varepsilon r_1 + \varepsilon^2 r_2, \quad s = \varepsilon s_1 + \varepsilon^2 s_2,$$

составляющие равны

$$r_1 = -\frac{vh_1}{4}, \quad r_2 = -\frac{h_1\Delta_1}{v}, \quad s_1 = \frac{2\Delta_1}{v}, \quad s_2 = \frac{2\Delta_2}{v} - \frac{2\Delta_1^2}{v^3} - \frac{\delta_1^2}{2v} + \frac{3vh_1^2}{64}. \quad (19)$$

Как в [1], систему (18) сведем к линейной однородной системе с постоянными коэффициентами с помощью замены переменных

$$P = a \sin \theta, \quad R = a \cos \theta. \quad (20)$$

Дифференцируем

$$\frac{dP}{dt} = \frac{da}{dt} \sin \theta + a \cos \theta \frac{d\theta}{dt}, \quad \frac{dR}{dt} = \frac{da}{dt} \cos \theta - a \sin \theta \frac{d\theta}{dt}.$$

Подставляем сюда выражения  $da/dt$ ,  $d\theta/dt = 0$ ,  $5d(2\theta/dt)$  (18). С учетом формул (20) получаем систему

$$\frac{dP}{dt} = -\frac{\delta}{2} P + \frac{r+s}{2} R, \quad \frac{dR}{dt} = -\frac{\delta}{2} R + \frac{r-s}{2} P. \quad (21)$$

Исключая, например,  $R$ , приходим к уравнению осциллятора относительно  $P$

$$\frac{d^2 P}{dt^2} + \delta \frac{dP}{dt} + \frac{s^2 - r^2 + \delta^2}{4} P = 0,$$

характеристическое уравнение которого имеет корни

$$k_{1,2} = \frac{-\delta \pm \sqrt{r^2 - s^2}}{2}.$$

При  $D = r^2 - s^2 \geq 0$  корни вещественные. Оба они отрицательные, пока  $D < \delta^2$ . Функция  $P(t)$  и, следовательно, амплитуда  $a(t)$  экспоненциально затухают, не совершая колебаний. Этот режим описан в [9], [2].

Если  $D > \delta^2$  корень  $k_1 > 0$ . В этом случае функция  $P(t)$  имеет экспоненциально возрастающую составляющую, что указывает на параметрический резонанс.

При  $k_1 = 0$ , ( $D = \delta^2$ ) получаем уравнение, связывающее параметры уравнения (1) и определяющее границу области резонанса

$$s^2 + \delta^2 = r^2. \tag{22}$$

При  $D = r^2 - s^2 < 0$  корни  $k_{1,2}$  комплексно-сопряженные. Функция  $P(t)$  и, следовательно, амплитуда  $a(t)$  экспоненциально затухают, совершая медленные колебания с частотой  $\sqrt{s^2 - r^2}/2$ .

Используя формулы (19), запишем уравнение (22) в первом приближении

$$\varepsilon^2 \frac{4\Delta_1^2}{v^2} + \varepsilon^2 \delta_1^2 = \varepsilon^2 \frac{v^2 h^2}{16}. \tag{23}$$

В работе [1] граница построена на плоскости параметров  $((2\omega/v)^2, h)$ . После подстановки выражения

$$\varepsilon \Delta_1 = \omega^2 - \frac{v^2}{4}, \tag{24}$$

которое следует из (2) при  $p = 1$ ,  $q = 2$ , в формулу (23), и умножения на  $4/v^2$  находим

$$\left(\frac{2\omega}{v}\right)^2 = 1 \pm \sqrt{\frac{h^2}{4} - \frac{4\delta^2}{v^2}},$$

т.е. выражение, определяющее границу области параметрического резонанса, которое получено в [1].

Дополним этот результат. Вычислим границу во втором приближении, считая  $\Delta \sim \varepsilon$ ,  $\delta \sim \varepsilon$ , т.е. полагая в формулах (19)  $\Delta_2 = 0$ .

Согласно (24) параметр  $(2\omega/v)^2$  выражается через частотную расстройку  $\Delta_1$ , которая присутствует в  $r_2, s_{1,2}$ . Поэтому (22) является алгебраическим уравнением относительно  $(2\omega/v)^2$ .

Запишем это уравнение. Для удобства введем

$$y = \left(\frac{2\omega}{v}\right)^2 - 1, \tag{25}$$

тогда из (24) следует

$$\varepsilon \Delta_1 = \frac{v^2}{4} y.$$

Подставим это выражение в  $r_2, s_1, s_2$  (19) и запишем (22) в виде

$$y^4 - 8y^3 + \left(16 - \frac{19h^2}{4} + \frac{8\delta^2}{v^2}\right)y^2 - \left(5h^2 + \frac{32\delta^2}{v^2}\right)y + \frac{9h^4}{64} - 4h^2 - \frac{3h^2\delta^2}{v^2} + \frac{64\delta^2}{v^2} + \frac{16\delta^4}{v^4} = 0.$$

Решение уравнения ищем в виде разложения по степеням  $\varepsilon$

$$y = \varepsilon y_1 + \varepsilon^2 y_2 + \dots \tag{26}$$

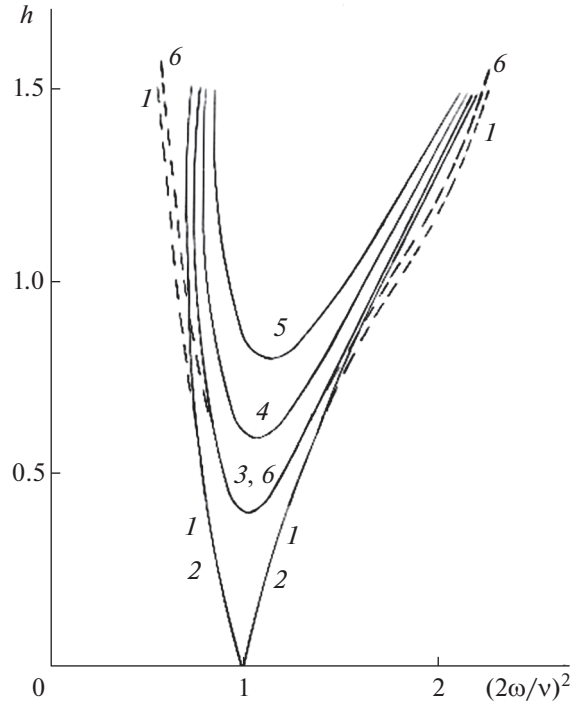
с использованием формул

$$y^2 = \varepsilon^2 y_1^2 + 2\varepsilon^3 y_1 y_2 + \dots, \quad y^3 = \varepsilon^3 y_1^3 + \dots.$$

Подставим в уравнение, учитывая оценки  $h, \delta \sim \varepsilon$ , приравняем нулю коэффициенты при степенях  $\varepsilon$

$$\varepsilon^2: 16y_1^2 - 4h^2 + \frac{64\delta_1^2}{v^2} = 0,$$

$$\varepsilon^3: -8y_1^3 + 32y_1 y_2 - \left(5h^2 + \frac{32\delta_1^2}{v^2}\right)y_1 = 0.$$



Фиг. 1

В полученной системе уравнений относительно  $y_{1,2}$  первое уравнение имеет решение

$$y_1 = \pm \sqrt{\frac{h_1^2}{4} - \frac{4\delta_1^2}{v^2}}.$$

Используя (25), получаем границу области параметрического резонанса в первом приближении.

Подставим  $y_1$  во второе уравнение и выразим  $y_2$ :

$$y_2 = \frac{7h_1^2}{32}.$$

Формулы для  $y_{1,2}$  позволяют с использованием (25) записать  $y$  (26) – границу области параметрического резонанса во втором приближении асимптотического метода

$$\left(\frac{2\omega}{v}\right)^2 = 1 \pm \sqrt{\frac{h^2}{4} - \frac{4\delta^2}{v^2}} + \frac{7h^2}{32}. \tag{27}$$

На фиг. 1 показаны границы первой области резонанса во втором приближении для трех значений  $\delta/v = 0.1, 0.15, 0.2$  (кривые 3, 4, 5 соответственно). Линия 2 – граница (27) при отсутствии затухания ( $\delta/v = 0$ ). Штриховые линии получены численным решением уравнения Матье: кривая 1 – из уравнения без затухания, кривая 2 – из уравнения с затуханием в случае  $\delta/v = 0.1$ . При численном интегрировании уравнения Матье (1) делением на  $v^2$  приводилось к виду

$$\frac{d^2x}{d\tau^2} + \frac{\delta}{v} \frac{dx}{d\tau} + \frac{1}{4} \left(\frac{2\omega}{v}\right)^2 (1 - h \cos \tau) x = 0, \quad \tau = vt. \tag{28}$$

### 3. РЕЗОНАНС $\omega \approx v$

Выведем формулы для границы второй области параметрического резонанса во втором и третьем приближениях асимптотического метода (формула (38)). Результат сравним с [1].

Теперь  $p = 1$ ,  $q = 1$  и  $\psi = vt + \theta$ . Из равенства выражений с  $\varepsilon$  в (11) и (10) следует уравнение

$$\frac{\partial^2 u_1}{\partial t^2} + v^2 u_1 - 2vA_1 \sin \psi - 2avB_1 \cos \psi = ah_1 v^2 \cos(vt) \cos \psi - a\Delta_1 \cos \psi + av\delta_1 \sin \psi.$$

Чтобы устранить в решении  $u_1$  колебания с основной частотой  $v$ , приравняем нулю выражения с  $\sin \psi$  и  $\cos \psi$ . Учитывая тригонометрическую формулу

$$\cos(vt) \cos \psi = \frac{1}{2} [\cos(2vt + \theta) + \cos \theta], \tag{29}$$

не содержащую колебаний с частотой  $v$ , получаем

$$2vA_1 + av\delta_1 = 0, \quad 2avB_1 - a\Delta_1 = 0.$$

Отсюда

$$A_1 = -\frac{a\delta_1}{2}, \quad B_1 = \frac{\Delta_1}{2v}. \tag{30}$$

Уравнение для  $u_1$

$$\frac{\partial^2 u_1}{\partial t^2} + v^2 u_1 = \frac{av^2 h_1}{2} [\cos(2vt + \theta) + \cos \theta]$$

имеет общее решение

$$u_1 = C_1 \cos(vt) + C_2 \sin(vt) - \frac{ah_1}{6} \cos(2vt + \theta) + \frac{ah_1}{2} \cos \theta. \tag{31}$$

Далее полагаем  $C_1 = C_2 = 0$ .

Формулы второго приближения найдем из равенства выражений с  $\varepsilon^2$  в (11) и (10) (при  $p = q = 1$ )

$$\begin{aligned} \frac{\partial^2 u_2}{\partial t^2} + v^2 u_2 + \left( -2A_1 B_1 - aA_1 \frac{\partial B_1}{\partial a} - aB_1 \frac{\partial B_1}{\partial \theta} - 2vA_2 \right) \sin \psi + \left( -aB_1^2 + A_1 \frac{\partial A_1}{\partial a} + B_1 \frac{\partial A_1}{\partial \theta} - 2avB_2 \right) \cos \psi + \\ + 2A_1 \frac{\partial^2 u_1}{\partial a \partial t} + 2B_1 \frac{\partial^2 u_1}{\partial \theta \partial t} = v^2 h_1 u_1 \cos(vt) - \Delta_1 u_1 - \delta_1 \left( A_1 \cos \psi - aB_1 \sin \psi + \frac{\partial u_1}{\partial t} \right) + \\ + ah_1 \Delta_1 \cos(vt) \cos \psi - a\Delta_2 \cos \psi + av\delta_2 \sin \psi. \end{aligned}$$

Здесь присутствуют тригонометрические выражения  $\cos(vt) \cos \psi$  (29) и

$$u_1 \cos(vt) = -\frac{ah_1}{12} \cos(3vt + \theta) + \frac{ah_1}{4} \sin(2\theta) \sin \psi + \left[ \frac{ah_1}{6} + \frac{ah_1}{4} \cos(2\theta) \right] \cos \psi, \tag{32}$$

которое получаем с использованием (31).

В функции  $u_2$  будут отсутствовать колебания с основной частотой  $v$ , если приравняем нулю выражения с  $\sin \psi$  и  $\cos \psi$

$$\begin{aligned} 2vA_2 = -2A_1 B_1 - aA_1 \frac{\partial B_1}{\partial a} - aB_1 \frac{\partial B_1}{\partial \theta} - a\delta_1 B_1 - \frac{av^2 h_1^2}{4} \sin(2\theta) - av\delta_2, \\ 2avB_2 = A_1 \frac{\partial A_1}{\partial a} + B_1 \frac{\partial A_1}{\partial \theta} - aB_1^2 - \frac{av^2 h_1^2}{6} + \delta_1 A_1 - \frac{av^2 h_1^2}{4} \cos(2\theta) + a\Delta_2. \end{aligned}$$

Отсюда после простых вычислений с использованием формул (30) получаем

$$A_2 = -\frac{a\delta_2}{2} - \frac{avh_1^2}{8} \sin(2\theta), \quad B_2 = \frac{\Delta_2}{2v} - \frac{\Delta_1^2}{8v^3} - \frac{\delta_1^2}{8v} - \frac{vh_1^2}{12} - \frac{vh_1^2}{8} \cos(2\theta). \tag{33}$$

Дифференциальное уравнение относительно  $u_2$  приобретает вид

$$\frac{\partial^2 u_2}{\partial t^2} + v^2 u_2 = \frac{ah_1 \Delta_1}{3} \cos(2vt + \theta) - \frac{av^2 h_1^2}{12} \cos(3vt + \theta).$$



Оно имеет общее решение

$$u_2 = C_1 \cos(vt) + C_2 \sin(vt) - \frac{ah_1\Delta_1}{9v^2} \cos(2vt + \theta) + \frac{ah_1^2}{96} \cos(3vt + \theta). \quad (34)$$

Далее полагаем  $C_1 = C_2 = 0$ .

Приравняем выражения с  $\varepsilon^3$  в (11) и (10), считая  $p = q = 1$ . Получаем дифференциальное уравнение относительно  $u_3$ :

$$\begin{aligned} & \frac{\partial^2 u_3}{\partial t^2} + v^2 u_3 + \left( -aA_1 \frac{\partial B_2}{\partial a} - aA_2 \frac{\partial B_1}{\partial a} - aB_1 \frac{\partial B_2}{\partial \theta} - aB_2 \frac{\partial B_1}{\partial \theta} - 2A_1 B_2 - 2A_2 B_1 - 2vA_3 \right) \sin \psi + \\ & + \left( A_1 \frac{\partial A_2}{\partial a} + B_1 \frac{\partial A_2}{\partial \theta} + A_2 \frac{\partial A_1}{\partial a} + B_2 \frac{\partial A_1}{\partial \theta} - 2aB_1 B_2 - 2avB_3 \right) \cos \psi + \frac{\partial u_1}{\partial a} \left( A_1 \frac{\partial A_1}{\partial a} + B_1 \frac{\partial A_1}{\partial \theta} \right) + A_1^2 \frac{\partial^2 u_1}{\partial a^2} + \\ & + 2A_1 B_1 \frac{\partial^2 u_1}{\partial a \partial \theta} + 2A_2 \frac{\partial^2 u_1}{\partial a \partial t} + 2A_1 \frac{\partial^2 u_2}{\partial a \partial t} + \frac{\partial u_1}{\partial \theta} \left( A_1 \frac{\partial B_1}{\partial a} + B_1 \frac{\partial B_1}{\partial \theta} \right) + B_1^2 \frac{\partial^2 u_1}{\partial \theta^2} + 2B_2 \frac{\partial^2 u_1}{\partial \theta \partial t} + 2B_1 \frac{\partial^2 u_2}{\partial \theta \partial t} = \\ & = v^2 h_1 u_2 \cos(vt) - \Delta_1 u_2 - \delta_1 \left( A_2 \cos \psi - aB_2 \sin \psi + A_1 \frac{\partial u_1}{\partial a} + B_1 \frac{\partial u_1}{\partial \theta} + \frac{\partial u_2}{\partial t} \right) + h_1 \Delta_1 u_1 \cos(vt) - \\ & - \Delta_2 u_1 - \delta_2 \left( A_1 \cos \psi - aB_1 \sin \psi + \frac{\partial u_1}{\partial t} \right) + ah_1 \Delta_2 \cos(vt) \cos \psi - a\Delta_3 \cos \psi + av\delta_3 \sin \psi, \end{aligned}$$

где присутствуют тригонометрические выражения  $u_1 \cos(vt)$  (32),  $\cos(vt) \cos \psi$  (29) и

$$u_2 \cos(vt) = -\frac{ah_1\Delta_1}{18v^2} [\cos(3vt + \theta) + \cos \psi] + \frac{ah_1^2}{192} [\cos(4vt + \theta) + \cos(2vt + \theta)],$$

которое вычислено с использованием формулы (34).

Приравняем нулю выражения с  $\sin \psi$  и  $\cos \psi$

$$\begin{aligned} & 2vA_3 + aA_1 \frac{\partial B_2}{\partial a} + aA_2 \frac{\partial B_1}{\partial a} + aB_1 \frac{\partial B_2}{\partial \theta} + aB_2 \frac{\partial B_1}{\partial \theta} + 2A_1 B_2 + 2A_2 B_1 + \frac{ah_1^2\Delta_1}{4} \sin(2\theta) + \\ & + a\delta_1 B_2 + a\delta_2 B_1 + av\delta_3 = 0, \\ & 2avB_3 - A_1 \frac{\partial A_2}{\partial a} - B_1 \frac{\partial A_2}{\partial \theta} - A_2 \frac{\partial A_1}{\partial a} - B_2 \frac{\partial A_1}{\partial \theta} + 2aB_1 B_2 + \frac{ah_1^2\Delta_1}{9} + \\ & + \frac{ah_1^2\Delta_1}{4} \cos(2\theta) - \delta_1 A_2 - \delta_2 A_1 - a\Delta_3 = 0. \end{aligned}$$

Здесь  $A_1, B_1$  определяются формулами (30),  $A_2, B_2$  – (33). В результате простых вычислений получаем

$$A_3 = -\frac{a\delta_3}{2} - \frac{ah_1^2\Delta_1}{8v} \sin(2\theta), \quad B_3 = \frac{\Delta_3}{2v} + \frac{\Delta_1^3}{16v^5} - \frac{\Delta_1\Delta_2}{4v^3} + \frac{\Delta_1\delta_1^2}{16v^3} - \frac{\delta_1\delta_2}{4v} - \frac{h_1^2\Delta_1}{72v} - \frac{h_1^2\Delta_1}{8v} \cos(2\theta). \quad (35)$$

Используя формулы (30), (33), (35), записываем систему (8) в виде (18), где в коэффициентах, имеющих вид разложения по степеням  $\varepsilon$

$$\delta = \varepsilon\delta_1 + \varepsilon^2\delta_2 + \varepsilon^3\delta_3, \quad r = \varepsilon^2r_2 + \varepsilon^3r_3, \quad s = \varepsilon s_1 + \varepsilon^2s_2 + \varepsilon^3s_3,$$

составляющие равны

$$\begin{aligned} r_2 &= -\frac{vh_1^2}{4}, \quad r_3 = -\frac{h_1^2\Delta_1}{4v}, \quad s_1 = \frac{\Delta_1}{v}, \\ s_2 &= \frac{\Delta_2}{v} - \frac{\Delta_1^2}{4v^3} - \frac{\delta_1^2}{4v} - \frac{vh_1^2}{6}, \quad s_3 = \frac{\Delta_3}{v} + \frac{\Delta_1^3}{8v^5} - \frac{\Delta_1\Delta_2}{2v^3} + \frac{\Delta_1\delta_1^2}{8v^3} - \frac{\delta_1\delta_2}{2v} - \frac{h_1^2\Delta_1}{36v}. \end{aligned} \quad (36)$$

Замена переменных (20) приводит к системе (21) и, как следствие, к уравнению (22), определяющему границу области параметрического резонанса. С учетом формул (36) запишем (22) подробно

$$\begin{aligned} \varepsilon^2(s_1^2 + \delta_1^2) + \varepsilon^3(2s_1s_2 + 2\delta_1\delta_2) + \varepsilon^4(s_2^2 + 2s_1s_3 + \delta_2^2 + 2\delta_1\delta_3) + \varepsilon^5(2s_2s_3 + 2\delta_2\delta_3) + \\ + \varepsilon^6(s_3^2 + \delta_3^2) = \varepsilon^4r_2^2 + \varepsilon^52r_2r_3 + \varepsilon^6r_3^2. \end{aligned}$$

Приравнявая выражения с одинаковыми степенями  $\varepsilon$  в левой и правой частях, получаем систему равенств

$$\begin{aligned} s_1^2 + \delta_1^2 = 0, \quad s_1s_2 + \delta_1\delta_2 = 0, \quad s_2^2 + 2s_1s_3 + \delta_2^2 + 2\delta_1\delta_3 = r_2^2, \\ s_2s_3 + \delta_2\delta_3 = r_2r_3, \quad s_3^2 + \delta_3^2 = r_3^2. \end{aligned} \tag{37}$$

Сначала найдем границу области параметрического резонанса во втором приближении, как в [1]. Для этого положим  $\delta_3 = r_3 = s_3 = 0$ . Получаем

$$s_1^2 + \delta_1^2 = 0, \quad s_1s_2 + \delta_1\delta_2 = 0, \quad s_2^2 + \delta_2^2 = r_2^2.$$

Первое и второе равенства выполняются, если  $s_1 = \delta_1 = 0$ , т.е. согласно (36) при  $\Delta_1 = \delta_1 = 0$ . В этом случае частотная расстройка  $\Delta \sim \varepsilon^2$  и коэффициент затухания  $\delta \sim \varepsilon^2$ . Далее, из (36) следуют выражения

$$s_2 = \frac{\Delta_2}{v} - \frac{vh_1^2}{6}, \quad r_2 = -\frac{vh_1^2}{4},$$

которые подставим в третье равенство

$$\left(\frac{\Delta_2}{v} - \frac{vh_1^2}{6}\right)^2 = \frac{v^2h_1^4}{16} - \delta_2^2.$$

Отсюда

$$\frac{\Delta_2}{v} = \frac{vh_1^2}{6} \pm \sqrt{\frac{v^2h_1^4}{16} - \delta_2^2}.$$

Умножим на  $\varepsilon^2$

$$\frac{\varepsilon^2\Delta_2}{v} = \frac{vh^2}{6} \pm \sqrt{\frac{v^2h^4}{16} - \delta^2}$$

и подставим частотную расстройку

$$\varepsilon^2\Delta_2 = \omega^2 - v^2,$$

которая следует из формулы (2) при  $\Delta_1 = 0, p = q = 1$ . Приходим к выражению

$$\frac{\omega^2 - v^2}{v} = \frac{vh^2}{6} \pm \sqrt{\frac{v^2h^4}{16} - \delta^2},$$

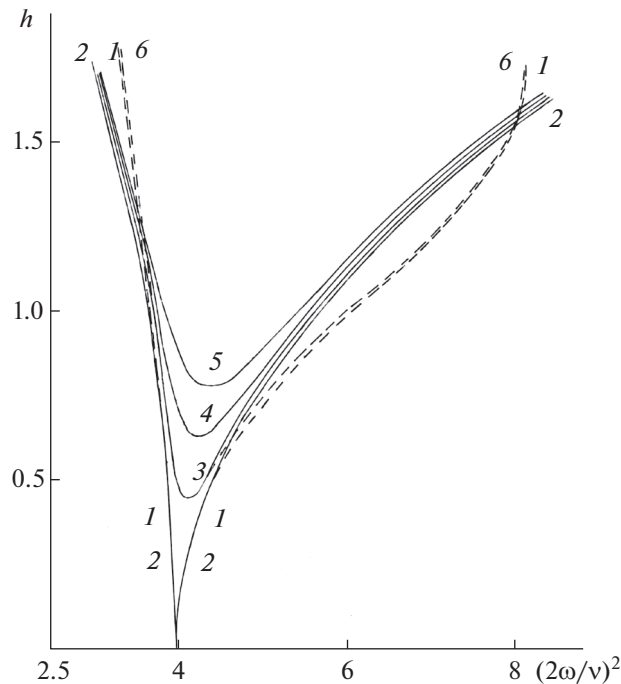
которое умножаем на  $4/v$ . В результате получаем границу области параметрического резонанса на плоскости параметров  $((2\omega / v)^2, h)$  (как в работе [1])

$$\left(\frac{2\omega}{v}\right)^2 = 4 + \frac{2h^2}{3} \pm \sqrt{h^4 - \frac{16\delta^2}{v^2}}. \tag{38}$$

Эта формула отличается от формулы (17.63) в [1] числовым множителем при  $\delta^2$ . Там вместо 16 стоит 64.

В третьем приближении используем оценки  $\Delta, \delta \sim \varepsilon^2$ . Тогда  $\Delta_1 = \delta_1 = \Delta_3 = \delta_3 = 0$ , и по формулам (36) получаем

$$s_2 = \frac{\Delta_2}{v} - \frac{vh_1^2}{6}, \quad r_2 = -\frac{vh_1^2}{4}, \quad s_3 = r_3 = 0,$$



Фиг. 2

как во втором приближении. В результате граница области параметрического резонанса в третьем приближении совпадает с границей (38) во втором приближении.

На фиг. 2 показана граница, вычисленная по формуле (38) для трех значений  $\delta/\nu = 0.05; 0.1; 0.15$  (линии 3, 4, 5 соответственно). Кривая 2 – граница, которая следует из (38) при отсутствии затухания ( $\delta/\nu = 0$ ). Эта граница, вычисленная численным интегрированием уравнения Матье (28), изображена штриховой линией 1. Штриховая линия б – граница области параметрического резонанса при затухании  $\delta/\nu = 0.05$  получена также численным интегрированием.

#### 4. РЕЗОНАНС $\omega \approx \frac{3}{2}\nu$

Получим формулу для границы третьей области параметрического резонанса (формула (48)). Результат сравним с [1].

Из равенства выражений с  $\epsilon$  в (11) и (10) при  $p = 3, q = 2$  следует дифференциальное уравнение

$$\frac{\partial^2 u_1}{\partial t^2} + \frac{9\nu^2}{4} u_1 - 3\nu A_1 \sin \psi - 3a\nu B_1 \cos \psi = \frac{9a\nu^2 h_1}{4} \cos(\nu t) \cos \psi - a\Delta_1 \cos \psi + \frac{3a\nu\delta_1}{2} \sin \psi.$$

Здесь

$$\psi = \frac{3\nu}{2}t + \theta$$

и

$$\cos(\nu t) \cos \psi = \frac{1}{2} \left[ \cos\left(\frac{5\nu}{2}t + \theta\right) + \cos\left(\frac{\nu}{2}t + \theta\right) \right]. \tag{39}$$

Приравняем нулю выражения, содержащие  $\sin \psi$  и  $\cos \psi$

$$3\nu A_1 + \frac{3a\nu\delta_1}{2} = 0, \quad 3a\nu B_1 - a\Delta_1 = 0,$$

откуда

$$A_1 = -\frac{a\delta_1}{2}, \quad B_1 = \frac{\Delta_1}{3v}. \quad (40)$$

Дифференциальное уравнение приобретает вид

$$\frac{\partial^2 u_1}{\partial t^2} + \frac{9v^2}{4} u_1 = \frac{9av^2 h_1}{8} \cos\left(\frac{v}{2}t + \theta\right) + \frac{9av^2 h_1}{8} \cos\left(\frac{5v}{2}t + \theta\right).$$

Оно имеет общее решение

$$u_1 = C_1 \cos\left(\frac{3v}{2}t\right) + C_2 \sin\left(\frac{3v}{2}t\right) + \frac{9ah_1}{16} \cos\left(\frac{v}{2}t + \theta\right) - \frac{9ah_1}{32} \cos\left(\frac{5v}{2}t + \theta\right), \quad (41)$$

в котором далее полагаем  $C_1 = C_2 = 0$ .

Приравняем теперь выражения с  $\varepsilon^2$  в (11) и (10) с  $p = 3, q = 2$

$$\begin{aligned} & \frac{\partial^2 u_2}{\partial t^2} + \frac{9v^2}{4} u_2 + \left(-2A_1 B_1 - aA_1 \frac{\partial B_1}{\partial a} - aB_1 \frac{\partial B_1}{\partial \theta} - 3vA_2\right) \sin \psi + \\ & + \left(-aB_1^2 + A_1 \frac{\partial A_1}{\partial a} + B_1 \frac{\partial A_1}{\partial \theta} - 3avB_2\right) \cos \psi + 2A_1 \frac{\partial^2 u_1}{\partial a \partial t} + 2B_1 \frac{\partial^2 u_1}{\partial \theta \partial t} = \frac{9v^2 h_1}{4} u_1 \cos(vt) - \Delta_1 u_1 - \\ & - \delta_1 \left(A_1 \cos \psi - aB_1 \sin \psi + \frac{\partial u_1}{\partial t}\right) + ah_1 \Delta_1 \cos(vt) \cos \psi - a\Delta_2 \cos \psi + \frac{3av\delta_2}{2} \sin \psi. \end{aligned} \quad (42)$$

Здесь присутствуют тригонометрические выражения (39) и

$$u_1 \cos(vt) = \frac{9ah_1}{32} \cos\left(\frac{v}{2}t - \theta\right) - \frac{9ah_1}{64} \cos\left(\frac{7v}{2}t + \theta\right) + \frac{9ah_1}{64} \cos \psi, \quad (43)$$

которое вычислено с учетом (41).

Приравняем нулю выражения с  $\sin \psi$  и  $\cos \psi$

$$\begin{aligned} & 3vA_2 + 2A_1 B_1 + aA_1 \frac{\partial B_1}{\partial a} + aB_1 \frac{\partial B_1}{\partial \theta} + a\delta_1 B_1 + \frac{3av\delta_2}{2} = 0, \\ & 3avB_2 - A_1 \frac{\partial A_1}{\partial a} - B_1 \frac{\partial A_1}{\partial \theta} + aB_1^2 + \frac{81av^2 h_1^2}{256} - \delta_1 A_1 - a\Delta_2 = 0. \end{aligned}$$

Используя формулы (40), получаем

$$A_2 = -\frac{a\delta_2}{2}, \quad B_2 = \frac{\Delta_2}{3v} - \frac{\Delta_1^2}{27v^3} - \frac{\delta_1^2}{12v} - \frac{27vh_1^2}{256}. \quad (44)$$

Дифференциальное уравнение (42) относительно  $u_2$  принимает вид

$$\begin{aligned} & \frac{\partial^2 u_2}{\partial t^2} + \frac{9v^2}{4} u_2 = \frac{81av^2 h_1^2}{128} \cos\left(\frac{v}{2}t - \theta\right) + \frac{ah_1 \Delta_1}{8} \cos\left(\frac{v}{2}t + \theta\right) + \\ & + \frac{5ah_1 \Delta_1}{16} \cos\left(\frac{5v}{2}t + \theta\right) - \frac{81av^2 h_1^2}{256} \cos\left(\frac{7v}{2}t + \theta\right). \end{aligned}$$

Оно имеет общее решение

$$\begin{aligned} u_2 = & C_1 \cos\left(\frac{3v}{2}t\right) + C_2 \sin\left(\frac{3v}{2}t\right) + \frac{81ah_1^2}{256} \cos\left(\frac{v}{2}t - \theta\right) + \frac{ah_1 \Delta_1}{16v^2} \cos\left(\frac{v}{2}t + \theta\right) - \\ & - \frac{5ah_1 \Delta_1}{64v^2} \cos\left(\frac{5v}{2}t + \theta\right) + \frac{81ah_1^2}{2560} \cos\left(\frac{7v}{2}t + \theta\right). \end{aligned} \quad (45)$$

Далее полагаем  $C_1 = C_2 = 0$ .

Формулы третьего приближения получим из равенства выражений с  $\varepsilon^3$  в (11) и (10) при  $p = 3, q = 2$

$$\begin{aligned} & \frac{\partial^2 u_3}{\partial t^2} + \frac{9v^2}{4} u_3 + \left( -aA_1 \frac{\partial B_2}{\partial a} - aA_2 \frac{\partial B_1}{\partial a} - aB_1 \frac{\partial B_2}{\partial \theta} - aB_2 \frac{\partial B_1}{\partial \theta} - 2A_1 B_2 - 2A_2 B_1 - 3vA_3 \right) \sin \psi + \\ & + \left( A_1 \frac{\partial A_2}{\partial a} + B_1 \frac{\partial A_2}{\partial \theta} + A_2 \frac{\partial A_1}{\partial a} + B_2 \frac{\partial A_1}{\partial \theta} - 2aB_1 B_2 - 3avB_3 \right) \cos \psi + \frac{\partial u_1}{\partial a} \left( A_1 \frac{\partial A_1}{\partial a} + B_1 \frac{\partial A_1}{\partial \theta} \right) + A_1^2 \frac{\partial^2 u_1}{\partial a^2} + \\ & + 2A_1 B_1 \frac{\partial^2 u_1}{\partial a \partial \theta} + 2A_2 \frac{\partial^2 u_1}{\partial a \partial t} + 2A_1 \frac{\partial^2 u_2}{\partial a \partial t} + \frac{\partial u_1}{\partial \theta} \left( A_1 \frac{\partial B_1}{\partial a} + B_1 \frac{\partial B_1}{\partial \theta} \right) + B_1^2 \frac{\partial^2 u_1}{\partial \theta^2} + 2B_2 \frac{\partial^2 u_1}{\partial \theta \partial t} + 2B_1 \frac{\partial^2 u_2}{\partial \theta \partial t} = \\ & = \frac{9v^2 h_1}{4} u_2 \cos(vt) - \Delta_1 u_2 - \delta_1 \left( A_2 \cos \psi - aB_2 \sin \psi + A_1 \frac{\partial u_1}{\partial a} + B_1 \frac{\partial u_1}{\partial \theta} + \frac{\partial u_2}{\partial t} \right) + h_1 \Delta_1 u_1 \cos(vt) - \\ & - \Delta_2 u_1 - \delta_2 \left( A_1 \cos \psi - aB_1 \sin \psi + \frac{\partial u_1}{\partial t} \right) + ah_1 \Delta_2 \cos(vt) \cos \psi - a\Delta_3 \cos \psi + \frac{3av\delta_3}{2} \sin \psi. \end{aligned}$$

Здесь присутствуют тригонометрические выражения (39), (43) и

$$\begin{aligned} u_2 \cos(vt) = & \frac{81ah_1^2}{512} [\cos(2\theta) \cos \psi + \sin(2\theta) \sin \psi] - \frac{ah_1 \Delta_1}{128v^2} \cos \psi + \frac{ah_1 \Delta_1}{32v^2} \cos\left(\frac{v}{2}t - \theta\right) + \\ & + \frac{81ah_1^2}{512} \cos\left(\frac{v}{2}t + \theta\right) + \frac{81ah_1^2}{5120} \cos\left(\frac{5v}{2}t + \theta\right) - \frac{5ah_1 \Delta_1}{128v^2} \cos\left(\frac{7v}{2}t + \theta\right) + \frac{81ah_1^2}{5120} \cos\left(\frac{9v}{2}t + \theta\right), \end{aligned}$$

которое получаем с использованием  $u_2$  (45).

Приравняем нулю выражения с  $\sin \psi$  и  $\cos \psi$

$$\begin{aligned} & 3vA_3 + aA_1 \frac{\partial B_2}{\partial a} + aA_2 \frac{\partial B_1}{\partial a} + aB_1 \frac{\partial B_2}{\partial \theta} + aB_2 \frac{\partial B_1}{\partial \theta} + 2A_1 B_2 + 2A_2 B_1 + \\ & + \frac{729av^2 h_1^3}{2048} \sin(2\theta) + a\delta_1 B_2 + a\delta_2 B_1 + \frac{3av\delta_3}{2} = 0, \\ & 3avB_3 - A_1 \frac{\partial A_2}{\partial a} - B_1 \frac{\partial A_2}{\partial \theta} - A_2 \frac{\partial A_1}{\partial a} - B_2 \frac{\partial A_1}{\partial \theta} + 2aB_1 B_2 + \\ & + \frac{63ah_1^2 \Delta_1}{512} + \frac{729av^2 h_1^3}{2048} \cos(2\theta) - \delta_1 A_2 - \delta_2 A_1 - a\Delta_3 = 0. \end{aligned}$$

Учитывая формулы (40), (44), после простых вычислений получаем

$$\begin{aligned} A_3 = & -\frac{a\delta_3}{2} - \frac{243avh_1^3}{2048} \sin(2\theta), \\ B_3 = & \frac{\Delta_3}{3v} + \frac{2\Delta_1^3}{243v^5} - \frac{2\Delta_1 \Delta_2}{27v^3} + \frac{\Delta_1 \delta_1^2}{54v^3} - \frac{\delta_1 \delta_2}{6v} - \frac{9h_1^2 \Delta_1}{512v} - \frac{243vh_1^3}{2048} \cos(2\theta). \end{aligned}$$

Эти формулы, а также (40) и (44) позволяют записать систему дифференциальных уравнений (8) в виде (18) с коэффициентами

$$\delta = \varepsilon \delta_1 + \varepsilon^2 \delta_2 + \varepsilon^3 \delta_3, \quad r = \varepsilon^3 r_3, \quad s = \varepsilon s_1 + \varepsilon^2 s_2 + \varepsilon^3 s_3, \quad (46)$$

в которых

$$\begin{aligned} r_3 = & -\frac{243vh_1^3}{1024}, \quad s_1 = \frac{2\Delta_1}{3v}, \quad s_2 = \frac{2\Delta_2}{3v} - \frac{2\Delta_1^2}{27v^3} - \frac{\delta_1^2}{6v} - \frac{27vh_1^2}{128}, \\ s_3 = & \frac{2\Delta_3}{3v} - \frac{4\Delta_1 \Delta_2}{27v^3} + \frac{4\Delta_1^3}{243v^5} + \frac{\Delta_1 \delta_1^2}{27v^3} - \frac{\delta_1 \delta_2}{3v} - \frac{9\Delta_1 h_1^2}{256v}. \end{aligned} \quad (47)$$

Подстановка (20) приводит систему (18) к системе (21) и далее к равенству (22), определяющему границу области параметрического резонанса. При подстановке разложений (46) в (22) приходим к системе равенств

$$\begin{aligned} s_1^2 + \delta_1^2 = 0, \quad s_1 s_2 + \delta_1 \delta_2 = 0, \quad s_2^2 + 2s_1 s_3 + \delta_2^2 + 2\delta_1 \delta_3 = 0, \\ s_2 s_3 + \delta_2 \delta_3 = 0, \quad s_3^2 + \delta_3^2 = r_3^2. \end{aligned}$$

Из первого следует  $s_1 = \delta_1 = 0$ . При этих значениях справедливо второе равенство. Третье принимает вид  $s_2^2 + \delta_2^2 = 0$ , откуда получаем  $s_2 = \delta_2 = 0$ , и, значит, справедливо четвертое равенство. Граница области параметрического резонанса определяется пятым равенством

$$s_3^2 + \delta_3^2 = r_3^2.$$

Уточним формулы для  $s_2$  и  $s_3$  (47). При  $s_1 = 0$  имеем  $\Delta_1 = 0$ . Тогда с учетом значения  $\delta_1 = 0$  получаем

$$s_2 = \frac{2\Delta_2}{3\nu} - \frac{27\nu h_1^2}{128}, \quad s_3 = \frac{2\Delta_3}{3\nu}.$$

Из условия  $s_2 = 0$  следует

$$\Delta_2 = \frac{81\nu^2 h_1^2}{256}.$$

Теперь запишем подробно пятое равенство, умножая его на  $\epsilon^6$ :

$$\frac{4(\epsilon^3 \Delta_3)^2}{9\nu^2} + (\epsilon^3 \delta_3)^2 = \left(\frac{243}{1024}\right)^2 \nu^2 (\epsilon h)^6.$$

Подставим выражение

$$\epsilon^3 \Delta_3 = \omega^2 - \frac{9\nu^2}{4} - \epsilon^2 \Delta_2,$$

полученное из формулы (2):

$$\frac{4}{9\nu^2} \left( \omega^2 - \frac{9\nu^2}{4} - \epsilon^2 \Delta_2 \right)^2 = \left( \frac{243}{1024} \right)^2 \nu^2 h^6 - \delta^2.$$

Подставим сюда  $\Delta_2$ :

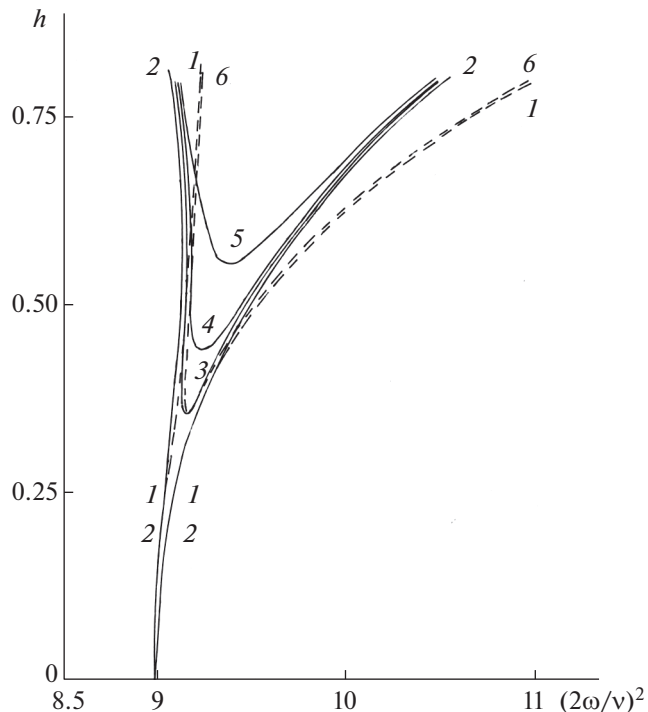
$$\frac{4}{9\nu^2} \left( \omega^2 - \frac{9\nu^2}{4} - \frac{81\nu^2 h^2}{256} \right)^2 = \left( \frac{243}{1024} \right)^2 \nu^2 h^6 - \delta^2.$$

Выразим  $(2\omega/\nu)^2$ . Для этого умножаем на  $36/\nu^2$  и извлекаем квадратный корень. В результате получаем границу области параметрического резонанса на плоскости параметров  $((2\omega/\nu)^2, h)$

$$\left(\frac{2\omega}{\nu}\right)^2 = 9 + \frac{81h^2}{64} \pm \sqrt{\left(\frac{81}{64}\right)^3 h^6 - \frac{36\delta^2}{\nu^2}}. \tag{48}$$

В [1] под корнем при  $\delta^2$  стоит множитель 324 (см. формулу (17.64)).

На фиг. 3 показана граница (48) третьей области параметрического резонанса при значениях затуханий  $\delta/\nu = 0, 0.01; 0.02; 0.04$  (кривые 2, 3, 4, 5 соответственно). При значении  $\delta/\nu = 0.01$  изображена также граница б (штриховая линия), полученная численным интегрированием уравнения Матье (28). Штриховая линия 1 – граница при отсутствии затухания – также результат численного интегрирования.



Фиг. 3

5. ГРАНИЦЫ ОБЛАСТЕЙ ПАРАМЕТРИЧЕСКОГО РЕЗОНАНСА  
 ДЛЯ УРАВНЕНИЯ  $\ddot{x} + \delta\dot{x} + [a + q \cos(2t)]x = 0$

Уравнение Матве в такой записи часто встречается в литературе (см., например, [4], [2]). Для него из формул (27), (38), (48), полученных из уравнения (1), выведем формулы, описывающие границы трех областей параметрического резонанса на плоскости параметров  $(a, q)$ .

Из сравнения уравнений следуют соотношения

$$\omega^2 = a, \quad h = -\frac{q}{a} \sim \varepsilon, \quad \nu = 2. \tag{49}$$

Формула (27), справедливая в случае резонанса  $\omega \approx \nu/2 = 1$ , приобретает вид

$$a = 1 \pm \sqrt{\frac{q^2}{4a^2} - \delta^2} + \frac{7q^2}{32a^2}.$$

Поскольку параметры  $q$  и  $\delta$  имеют одинаковый порядок малости ( $\sim \varepsilon$ ), положим  $\delta = kq$ , где  $k \sim 1$ , и перепишем это выражение

$$a = 1 \pm q \sqrt{\frac{1}{4a^2} - k^2} + \frac{7q^2}{32a^2}. \tag{50}$$

Корни  $a$  уравнения будем искать в виде разложения по степеням  $q$

$$a = 1 + qa_1 + q^2a_2 + q^3a_3 + \dots \tag{51}$$

Сделаем разложение во втором слагаемом правой части (50)

$$\begin{aligned} \sqrt{\frac{1}{4a^2} - k^2} &= \sqrt{\frac{1}{4} - k^2} + \left( \sqrt{\frac{1}{4a^2} - k^2} \right)' \Big|_{a=1} (qa_1 + q^2a_2 + \dots) + \frac{1}{2} \left( \sqrt{\frac{1}{4a^2} - k^2} \right)'' \Big|_{a=1} (qa_1 + \dots)^2 + \dots = \\ &= \sqrt{\frac{1}{4} - k^2} - \frac{1}{4\sqrt{\frac{1}{4} - k^2}} (qa_1 + q^2a_2 + \dots) + \frac{1 - 6k^2}{16\left(\frac{1}{4} - k^2\right)^{3/2}} (q^2a_1^2 + \dots), \end{aligned}$$

в третьем слагаемом –

$$\frac{1}{a^2} = 1 - 2qa_1 + \dots$$

Подставим эти разложения и (51) в уравнение (50), приравняем выражения с одинаковыми степенями  $q$  в левой и правой частях:

$$q: a_1 = \pm \sqrt{\frac{1}{4} - k^2}; \quad q^2: a_2 = \mp \frac{1}{4\sqrt{\frac{1}{4} - k^2}} a_1 + \frac{7}{32}.$$

Отсюда

$$a_2 = -\frac{1}{32}.$$

Подставляя  $a_{1,2}$  в (51) и учитывая формулу  $k = \delta/q$ , получаем выражение, описывающее границу области параметрического резонанса  $a \approx 1$  на плоскости параметров  $(a, q)$

$$a = 1 \pm \frac{\sqrt{q^2 - 4\delta^2}}{2} - \frac{q^2}{32}. \tag{52}$$

При резонансе  $\omega \approx \nu = 2$  с использованием формул (49) запишем выражение (38) для границы области параметрического резонанса

$$a = 4 + \frac{2q^2}{3a^2} \pm \sqrt{\frac{q^4}{a^4} - 4\delta^2}.$$

Ищем решение этого уравнения, зависящего от  $a$ , в виде

$$a = 4 + qa_1 + q^2a_2 + q^3a_3 + \dots$$

Учитывая оценку  $\delta \sim q^2$  и полагая  $\delta = kq^2$ , разлагая функции по степеням  $q$  и приравнивая выражения с одинаковыми степенями  $q$  в левой и правой частях уравнения, находим

$$a_1 = 0, \quad a_2 = \frac{1}{24} \pm \sqrt{\frac{1}{256} - 4k^2}, \quad a_3 = 0.$$

Таким образом, сохраняя точность третьего приближения, получаем границу области параметрического резонанса на плоскости параметров  $(a, q)$

$$a = 4 + \frac{q^2}{24} \pm \sqrt{\frac{q^4}{256} - 4\delta^2}. \tag{53}$$

В случае  $\omega \approx 3\nu/2 = 3$  с использованием формул (49) и  $\delta = kq^3$  запишем выражение (48) для границы области параметрического резонанса

$$a = 9 + \frac{81q^2}{64a^2} \pm q^3 \sqrt{\frac{81^3}{64^3 a^6} - 9k^2}.$$

Ищем решение  $a$  в виде разложения

$$a = 9 + qa_1 + q^2a_2 + q^3a_3 + \dots$$

Тогда во втором слагаемом в правой части

$$\frac{1}{a^2} = \frac{1}{81} - \frac{2q}{729} a_1 + \dots$$

Из сравнения коэффициентов при одинаковых степенях  $q$  получаем

$$a_1 = 0, \quad a_2 = \frac{1}{64}, \quad a_3 = \pm \sqrt{\frac{1}{64^3} - 9k^2}.$$



Окончательно имеем

$$a = 9 + \frac{q^2}{64} \pm \sqrt{\left(\frac{q^3}{512}\right)^2 - 9\delta^2}. \quad (54)$$

Формулы (52)–(54) получены асимптотическим методом усреднения [3], [4] в статье [2]. При этом уравнение Матье с параметрами  $a$  и  $q$  приводилось к системе уравнений, содержащей несколько быстрых фаз, как это делалось для уравнений Матье в [4]–[6], а также уравнения Хилла без затухания в [10] и с затуханием в [11].

#### СПИСОК ЛИТЕРАТУРЫ

1. Боголюбов Н.Н., Митропольский Ю.А. Асимптотические методы в теории нелинейных колебаний. М.: Наука, 1974.
2. Беломытцева Е.Г., Курин А.Ф., Туленко Е.Б. Задача Коши для уравнения Матье с затуханием при параметрическом резонансе // Вестн. Воронеж. гос. ун-та. Сер. Физика, математика. 2018. № 3. С. 105–125.
3. Моисеев Н.Н. Асимптотические методы нелинейной механики. М.: Наука, 1981.
4. Гребеников Е.А. Метод усреднения в прикладных задачах. М.: Наука, 1986.
5. Курин А.Ф. Задача Коши для уравнения Матье при параметрическом резонансе // Ж. вычисл. матем. и матем. физ. 2008. Т. 48. № 4. С. 633–650.
6. Курин А.Ф. Задача Коши для уравнения Матье вдали от параметрического резонанса // Ж. вычисл. матем. и матем. физ. 2011. Т. 51. № 8. С. 1419–1433.
7. Штокало И.З. Линейные дифференциальные уравнения с переменными коэффициентами. Киев: Изд-во АН Украинской ССР, 1960.
8. Колесов Ю.С., Майоров В.В. Новый метод исследования устойчивости решений линейных дифференциальных уравнений с близкими к постоянным почти периодическими коэффициентами // Дифференц. уравнения. 1974. Т. 10. № 10. С. 1778–1788.
9. Горелик Г. Резонансные явления в линейных системах с периодически меняющимися параметрами // Ж. теор. физ. 1935. Т. 5. № 3. С. 489–517.
10. Курин А.Ф. Спектральный критерий устойчивости и задача Коши для уравнения Хилла при параметрическом резонансе // Ж. вычисл. матем. и матем. физ. 2009. Т. 49. № 3. С. 498–511.
11. Беломытцева Е.Г., Курин А.Ф., Туленко Е.Б. Спектральный критерий устойчивости и задача Коши для уравнения Хилла с затуханием при параметрическом резонансе // Вестн. Воронеж. гос. ун-та. Сер. Физика, математика. 2019. № 1. С. 69–90.